

Е. В. АНУФРИЕВА, член-корреспондент АН СССР М. В. ВОЛЬКЕНШТЕЙН,  
Ю. Я. ГОТЛИБ, М. Г. КРАКОВЯК, С. С. СКОРОХОДОВ, Т. В. ШЕВЕЛЕВА

ИССЛЕДОВАНИЕ ВНУТРИМОЛЕКУЛЯРНОЙ ПОДВИЖНОСТИ  
МАКРОМОЛЕКУЛ С ЛЮМИНЕСЦИРУЮЩИМИ МЕТКАМИ  
В ОСНОВНОЙ ЦЕПИ И БОКОВЫХ РАДИКАЛАХ

Метод поляризованной люминесценции (п.л.) позволяет изучать внутримолекулярную подвижность макромолекул в растворе, если к ним ковалентно присоединить люминесцирующие группы (метки, «репортеры») (<sup>1-4</sup>). Число таких меток должно быть небольшим (одна на 500—1000 звеньев полимера), чтобы не изменять свойства макромолекулы. Нами разработаны методы получения некоторых типов полимеров с люминесцирующими метками, обладающими заданными оптическими свойствами (<sup>2, 5</sup>). В основе этих методов лежат реакции с участием макромолекул или сополимеризации с применением специально синтезированных мономеров, содержащих люминесцирующую группу. Полимеры (полиметакриловая кислота — ПМАК, полиметилметакрилат — ПММА) с метками, включенными в основную цепь макромолекул, получены с помощью изомеризационной полимеризации 9-винилантрацена (<sup>6</sup>). Перечисленные методы позволяют выявлять количество меток, их природу и положение в макромолекуле.

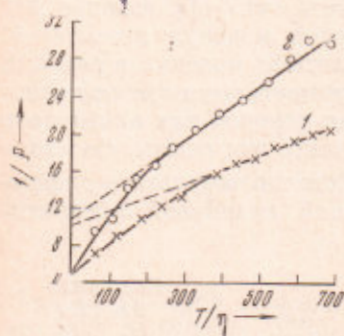


Рис. 1. Зависимость поляризации люминесценции  $P$  от вязкости растворителя  $\eta$  (сПз) при постоянной температуре  $1/P(T/\eta)$  для растворов полиметилметакрилата (ПММА) с люминесцирующими метками. 1 — для макромолекул с антраценом, включенным в основную цепь ( $\tau = 7,3 \cdot 10^{-9}$  сек), 2 — для макромолекул с антраценом в боковом радикале ( $\tau = 4,2 \cdot 10^{-9}$  сек). Растворитель — смесь этилацетата с триацетином.  $T = 298^\circ\text{K}$

щего люминесцирующую группу. Зависимость внутримолекулярной подвижности макромолекул ПМАК от их конформационных состояний была изучена нами ранее (<sup>2, 3</sup>).

В настоящей работе проведено сравнительное исследование внутримолекулярной подвижности в макромолекулах ПМАК и ПММА, имеющих люминесцирующую метку (антрацен) в основной цепи или на конце гибкого бокового радикала (одна метка на 500—1000 звеньев полимера). Спектры поглощения и люминесценции растворов полимеров с антраценом, включенным в основную цепь, практически совпадают со спектрами 9,10-диметильтантрацена, а для полимеров с антраценом на конце бокового радикала спектры совпадают со спектрами 9-метильтантрацена со сдвигом в длинноволновую область на 2 мкм. Этот сдвиг определяется увеличением длины

В качестве объектов исследования были выбраны полимеры акрилового ряда — ПММА, ПМАК, поликариловая кислота (ПАК). Методом п.л. было изучено поведение времен релаксации  $\rho$ , характеризующих внутримолекулярную подвижность макромолекул в растворе (<sup>4</sup>), в зависимости от следующих факторов: 1) положения люминесцирующей метки в макромолекуле (в основной цепи или на конце бокового радикала); 2) свойств люминесцирующей группы (химической структуры, оптических свойств, степени гидрофобности); 3) гибкости бокового радикала, несущего люминесцирующую группу.

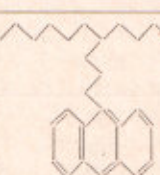
Зависимость внутримолекулярной подвижности макромолекул ПМАК от их конформационных состояний была изучена нами ранее (<sup>2, 3</sup>).

В настоящей работе проведено сравнительное исследование внутримолекулярной подвижности в макромолекулах ПМАК и ПММА, имеющих люминесцирующую метку (антрацен) в основной цепи или на конце гибкого бокового радикала (одна метка на 500—1000 звеньев полимера). Спектры поглощения и люминесценции растворов полимеров с антраценом, включенным в основную цепь, практически совпадают со спектрами 9,10-диметильтантрацена, а для полимеров с антраценом на конце бокового радикала спектры совпадают со спектрами 9-метильтантрацена со сдвигом в длинноволновую область на 2 мкм. Этот сдвиг определяется увеличением длины

алкильных заместителей в положениях 9 или 9,10 молекул антрацена, включенных в полимерную цепь. Длительность люминесценции  $\tau$  растворов в этилацетате макромолекул ПММА с антраценом, включенным в основную цепь, составляет  $7,3 \cdot 10^{-9}$  сек., для ПММА с антраценом на конце бокового радикала  $\tau = 4,2 \cdot 10^{-9}$  сек \*. При исследовании всех полимеров были использованы образцы с молекулярным весом  $M_n = 100\,000 - 400\,000$ . Для определения времен релаксации  $\rho$  (\*) измерены зависимости поляризации люминесценции растворов макромолекул от вязкости растворителя при  $25^\circ\text{C}$  (рис. 1). Вязкость растворителя изменялась добавлением глицерина к воде для растворов ПМАК или триацетина к этилацетату для ПММА. Приведенные в табл. 1 данные свидетельствуют о больших значе-

Таблица 1

Времена релаксации  $\rho \cdot 10^{-9}$  сек. при  $\eta_{\text{пр}} = 0,44$  спз и  $25^\circ\text{C}$

Система	Метка	
		
ПМАК в воде, $\alpha = 0$	66	70
ПМАК в воде, $\alpha = 0,5$	8,1	16
ПМАК в метаноле	8,4	15
ПММА в этилацетате	6,9	19

П р и м е ч а н и е. Здесь и в табл. 2 все значения  $\rho$  приведены для одного значения вязкости растворителя  $\eta_{\text{пр}}$   $\alpha$  — степень ионизации. Концентрация полимера в растворе 0,05%.

ниях времен релаксации, определенных для макромолекул с антраценом в основной цепи, по сравнению с  $\rho$  для макромолекул с антраценом на конце бокового радикала. Времена релаксации как для меток в боковом радикале, так и для метки, включенной в основную цепь, ведут себя одинаково при изменении химического строения (ПМАК, ПММА) и при их конформационных превращениях (ПМАК при  $\alpha = 0$  и  $\alpha = 0,5$  (\*)).

Как уже отмечалось в (\*), средние времена релаксации при заданной температуре пропорциональны вязкости растворителя. Изучение температурной зависимости времен релаксации и сопоставление ее с температурной зависимостью вязкости растворителя позволяет получить дополнительную информацию о механизмах внутримолекулярной подвижности и о барьерах внутреннего вращения в цепи и боковых радикалах (ср. (\*)). Для полимера с меткой в цепи (ПММА в этилацетате) полученный нами температурный коэффициент времени релаксации, энергия активности —  $u = [d \ln \rho / d(1/kT)]$  имеет малое значение  $\sim 2$  ккал/моль, близкое к энергии активации вязкого значения растворителя  $u_v = 2,1$  ккал/моль. Отсюда следует, что в случае движения участка основной цепи ПММА, т. е. для сегментного движения, доминирующий механизм движения не связан с преодолением внутрицепных барьеров внутреннего вращения  $\Delta u = u - u_v$ . Следует отметить, что энергия активации времен диэлектрической релаксации ПММА в толуоле превышает энергию активации вязкого течения растворителя на  $\sim 4,5$  ккал/моль.

Для изучения зависимости информации, получаемой методом п.л., от свойств самой метки — химического строения, оптических свойств и способа ее присоединения (степени гибкости бокового радикала с люминес-

\* Значения  $\tau$  растворов ПМАК, ПММА определены на флуорометре ГОИ ИФ-39 Т. В. Веселовой, Л. А. Лиморевой, В. И. Широковым, которым авторы приносят сердечную благодарность.

дирующей группой) были сопоставлены данные для макромолекул ПМАК и ПАК с различными метками в боковом радикале — гидрофобной, содержащей антрацен, и гидрофильной, ациламинонафталинсульфокислотной (табл. 2). Длительность люминесценции τ для изученных люминесцирующих групп в водных растворах ПМАК составляет соответственно  $10,3 \cdot 10^{-9}$  сек и  $5,2 \cdot 10^{-9}$  сек. Для исследованных макромолекул (табл. 2) для каждой из меток получены близкие значения времен релаксации. Связь

Таблица 2

Времена релаксации  $\rho \cdot 10^{-9}$  сек. при  $\eta_{\text{пр}} = 0,44$  спз, 25° С

Система	Метка	
	$R=CH_3, H$	$R=CH_3, H$
ПМАК в воде, $\alpha = 0$	66	67
ПМАК в воде, $\alpha = 0,5$	8,4	6,6
ПАК в воде, $\alpha = 0$	11	9,4

времен релаксации с химическим строением макромолекул (ПМАК, ПАК) и их конформациями (ПМАК,  $\alpha = 0, \alpha = 0,5$  (<sup>2</sup>)) имеет одинаковый характер для меток обоих типов. Этот результат особенно примечателен, если учесть различия во внутренней гибкости радикалов, содержащих антрацен и нафталин. В первом случае возможно внутреннее вращение с барьером  $\sim 2-3$  ккал/моль, например, вокруг связи  $-\text{O}-\text{CH}_2-$ . В последнем случае, наличие амидной группировки делает радикал более жестким.

Полученные нами данные о связи времени релаксации ρ с химической структурой и конформацией макромолекул для полимеров с метками в цепи и боковых радикалах, а также данные об отсутствии заметного влияния на ρ строения метки, находящейся в боковом радикале (ПМАК), позволяют сделать следующие выводы.

1. Уменьшение среднего времени релаксации, определяемого методом п.л. для макромолекул с метками в боковом радикале, по сравнению с ρ, определяемым для макромолекул с метками, включенными в основную цепь, может быть обусловлено движением в гибком боковом радикале.

2. Сравнение этих времен позволяет оценить вклад внутренней подвижности бокового радикала в суммарное время релаксации.

3. Метод п.л. позволяет получить информацию о внутримолекулярной подвижности макромолекул в растворе и сегментальном движении основной полимерной цепи как для полимеров с меткой в основной цепи, так и для полимеров с люминесцирующими метками, находящимися на концах боковых радикалов.

Институт высокомолекулярных соединений  
Академии наук СССР  
Ленинград

Поступило  
21 IV 1970

#### ЦИТИРОВАННАЯ ЛИТЕРАТУРА

- <sup>1</sup> G. Weberg, Biochem. J., 52, 155 (1952). <sup>2</sup> Е. В. Ануфриева, М. В. Волькенштейн и др., ДАН, 182, № 2, 361 (1968). <sup>3</sup> Е. В. Ануфриева, М. В. Волькенштейн и др., ДАН, 186, № 4, 854 (1969). <sup>4</sup> Е. В. Ануфриева, М. В. Волькенштейн и др., Изв. АН СССР, сер. физ., № 3 (1970). <sup>5</sup> М. Г. Краковская, Е. В. Ануфриева, С. С. Скорододов, Высокомолек. соед., A11, № 11, 2499 (1969). <sup>6</sup> A. Rembaum, A. Eisenberg, Macromol. Revs., 1, 57 (1967). <sup>7</sup> Г. П. Михайлов, А. М. Лобанов, М. П. Платонов, Высокомолек. соед., 8, 692, 1377 (1966); A9, 2267 (1967).